

УДК 539.3; 539.5; 537.312.62

© 1990

## ДЕФОРМАЦИЯ И СТРУКТУРА КЕРАМИКИ Y—Ba—Cu—O В ДИАПАЗОНЕ 300—1200 К

*В. С. Бобров, И. И. Зверькова, А. П. Иванов, А. Н. Изотов,  
Л. А. Новомлинский, Р. К. Николаев, Ю. А. Осипьян,  
Н. С. Сидоров, В. Ш. Шехтман*

Исследовались механические свойства керамики Y—Ba—Cu—O в диапазоне температур 300—1200 К. Обнаружен переход от хрупкого разрушения к пластической деформации в области температуры фазового превращения орторомб—тетрагон. Пластическая деформация сопровождается изменениями структуры и фазового состава керамики. Ниже температуры хрупкопластического перехода наблюдается пластификация образцов при увеличении дефицита кислорода.

При низких и умеренных температурах монокристаллы и керамика систем 1—2—3 обладают низким ресурсом пластичности (см., например, [1—5]). Представляют интерес исследования механических свойств этих объектов в широком диапазоне температур, их зависимости от особенностей структуры и, в частности, от состояния образцов по кислороду. Не менее важным является изучение изменений структуры и свойств при деформации этих материалов.

Были проведены исследования деформации керамики  $Y_1Ba_2Cu_3O_{7-x}$ , в диапазоне температур 300—1200 К. Образцы в виде параллелепипедов ( $3 \times 3 \times 8$  мм<sup>3</sup>) изготавливались по стандартной технологии: прессование, спекание, отжиг в кислороде, механическая шлифовка и полировка. Дефицит кислорода в исходных образцах не превышал  $x=0.1$ . В отдельных опытах осуществлялось уменьшение концентрации кислорода путем отжига образцов в инертной среде или вакууме при  $T \approx 700 \div 950$  К. Образцы деформировались сжатием в инертной атмосфере (гелий) с постоянной скоростью нагружающего устройства (100 мкм/мин). Структура исходных и деформированных образцов контролировалась с помощью рентгеновской дифрактометрии.

До определенной температуры исследованные образцы имели низкий уровень пластичности и их деформация до хрупкого разрушения протекала квазиупруго (рис. 1, 1). При дальнейшем повышении температуры характер деформации изменился и происходил переход к пластическому течению. Значения температур, при которых происходил переход от хрупкого разрушения к пластическому течению, для большинства исследованных образцов лежали в области температуры фазового превращения орторомб—тетрагон [6]. При приближении к этой температуре на кривой деформации перед разрушением возникало заметное отклонение от квазиупругого наклона (рис. 1, 2), а при более высоких температурах пластичность образцов резко возрастала и деформационные кривые обычно принимали характерный вид с зубом текучести (рис. 1, 3). Уровень напряжений  $\sigma$ , при которых происходило хрупкое разрушение или возникало заметное пластическое течение, зависел от условий приготовления и исходной структуры образцов. Наблюдалось также влияние этих факторов на значения температуры, при которой происходил хрупкопластический переход. На рис. 2 представлены зависимости  $\sigma$  от  $T$  для одной из серий

деформированных образцов. Видно, что пластификация образцов сопровождается резким уменьшением напряжения деформирования.

Деформация образцов сопровождалась структурными перестройками, но при хрупком разрушении и слабо выраженном пластическом течении, а также при нагреве образцов без деформации основной фазовый состав

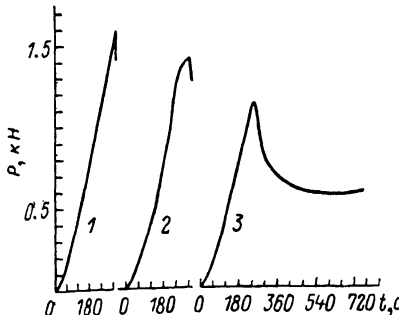


Рис. 1. Примеры кривых деформации керамики  $\text{Y}-\text{Ba}-\text{Cu}-\text{O}$ .

$T=990$  (1),  $1030$  (2) и  $1090$  К (3).  $P$  — нагрузка,  $t$  — время.

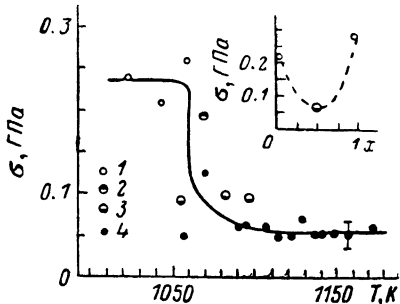


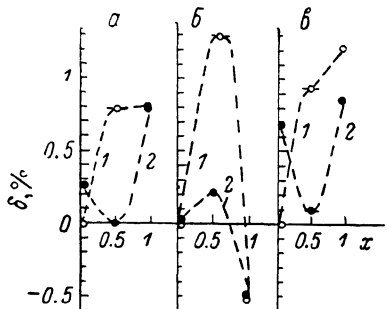
Рис. 2. Температурная зависимость напряжения  $\sigma$  хрупкого разрушения или заметного пластического течения для одной из серий образцов керамики  $\text{Y}-\text{Ba}-\text{Cu}-\text{O}$ .

1 — хрупкое разрушение; 2, 3 — разная степень пластичности; 4 — выраженное пластическое течение. На вставке — зависимость  $\sigma$  от дефицита кислорода  $x$  в условиях деформирования при  $T=960$  К.

1—2—3 сохранялся. Более радикальные изменения структуры происходили при выраженному пластическом течении. Существовали, в частности, образцы, в которых после заметной пластической деформации происходил практически полный распад соединения 1—2—3 в основном на  $\text{CuO}$  и  $\text{BaCuO}_2$ . При этом происходило уменьшение объема сверхпроводящей фазы и критической температуры сверхпроводящих переходов. Отметим, что фазовые превращения при пластической деформации образцов кера-

Рис. 3. Относительное изменение  $\delta$  кристаллографических параметров  $a$  (а),  $b$  (б) и  $c$  (в) керамики  $\text{Y}_1\text{Ba}_2\text{Cu}_3\text{O}_{7-x}$  при увеличении дефицита кислорода  $x$ .

1, 2 — измерения до деформации (светлые точки) и после деформирования при  $T=960$  К (тёмные точки).



мики 1—2—3 могут быть связаны с процессами в области межзеренных границ при перемещении кристаллитов. Эти процессы могут оказывать влияние на характер деформации и вид деформационных кривых.<sup>1</sup>

Были проведены контрольные опыты по изучению зависимости механических свойств керамики  $\text{Y}_1\text{Ba}_2\text{Cu}_3\text{O}_{7-x}$  от содержания кислорода. В области температур ниже хрупкопластического перехода уменьшение концентрации кислорода приводило к пластификации образцов. Например, при дефиците кислорода  $x \approx 0.5$  деформационные кривые принимали вид, аналогичный кривой 2 на рис. 1, а при дальнейшем удалении кислорода ( $x \approx 0.9 \div 1$ , тетрагональная фаза) образцы вновь становились хрупкими. Результаты измерений деформирующего напряжения  $\sigma$  при трех

<sup>1</sup> В контрольных опытах не было обнаружено заметной пластичности монокристаллов  $\text{Y}-\text{Ba}-\text{Cu}-\text{O}$  при деформировании изгибом в диапазоне  $T \geq 1000$  К, что также может свидетельствовать об особой роли межзеренных границ в пластичности керамики.

значениях  $x$  и  $T \approx 960$  К приведены на вставке рис. 2. Влияние состояния исследованных образцов по кислороду на характер их деформации качественно согласуется с результатами исследований микротвердости монокристаллов  $\text{Y}-\text{Ba}-\text{Cu}-\text{O}$  [2].

Наблюдается определенная корреляция между характером деформации и изменением параметров кристаллической решетки исследованных образцов при удалении кислорода. Параметры решетки исходных образцов:  $a \approx 3.83$ ,  $b \approx 3.88$  и  $c \approx 11.67$  Å. На рис. 3 приведено относительное изменение этих параметров при увеличении дефицита кислорода ( $x \approx 0.5 \pm 0.1$  и  $x \approx 0.95 \pm 0.05$ ) и при деформировании. Кривые отражают тенденцию изменения параметров  $a$ ,  $b$  и  $c$  при удалении кислорода. Обратим внимание на уменьшение параметров решетки и, особенно, параметра  $b$  при пластической деформации образцов с дефицитом  $x \approx 0.5$ . Анализ этих данных позволяет полагать, что пластификация керамики 1—2—3 при промежуточных значениях дефицита  $x$  связана с перестройкой кислорода (его вакансий) при деформировании образцов. Для уточнения роли кислорода в процессах деформации необходимы дальнейшие исследования.

В заключение отметим, что наряду с деформированием образцов при однородном нагреве в инертной атмосфере осуществлялись также опыты по деформированию керамики  $\text{Y}-\text{Ba}-\text{Cu}-\text{O}$  в условиях нагрева на воздухе и, в частности, по локальной деформации в нагретой зоне температурно-электрических доменов, возникающих при пропускании электрического тока через образцы керамик состава 1—2—3 [7]. Как и при однородном нагреве образцов, заметная пластичность в локальной зоне доменов возникала после нагрева этой зоны выше температуры фазового перехода орторомб—тетрагон. Деформация в этом случае сопровождалась локальным изменением структуры образцов.

Авторы благодарят А. Н. Туранова за контрольные измерения концентрации кислорода, В. И. Кулакова и С. С. Шевага за помощь при подготовке образцов и проведении исследований.

### Список литературы

- [1] Cook Robert F., Dinger Timothy R., Clarke David R. // Appl. Phys. Lett. 1987. V. 51. N 6. P. 454—459.
- [2] Бобров В. С., Власко-Власов В. К., Емельченко Г. А., Инденбом М. В., Лебедкин М. А., Осильян Ю. А., Татарченко В. А., Фарбер Б. Я. // ФТТ. 1989. Т. 31. № 4. С. 93—99.
- [3] Демирский В. В., Кауфман Х.-Й., Лубенец С. В., Нацик В. Д., Фоменко Л. С. // ФТТ. 1989. Т. 31. № 6. С. 263—266.
- [4] Песчанская Н. Н., Смирнов Б. И., Степанов Ю. П., Шпейзман В. В. // ФТТ. 1988. Т. 30. № 11. С. 3503—3505; 1989. Т. 31. № 4. С. 271—273.
- [5] Доценко В. И., Кисляк И. Ф., Нацик В. Д. // ФНТ. 1989. Т. 15. № 1. С. 82—86.
- [6] Eatough M. O., Glinley D. S., Morosin B., Venturini E. L. // Appl. Phys. Lett. 1987. V. 51. N 5. P. 367—370.
- [7] Осильян Ю. А., Николаев Р. К., Сидоров Н. С., Бобров В. С., Цой В. С. // Письма в ЖЭТФ. 1988. Т. 47. № 5. С. 257—260.

Институт физики твердого тела АН СССР  
Черноголовка  
Московская область

Поступило в Редакцию  
11 сентября 1989 г.